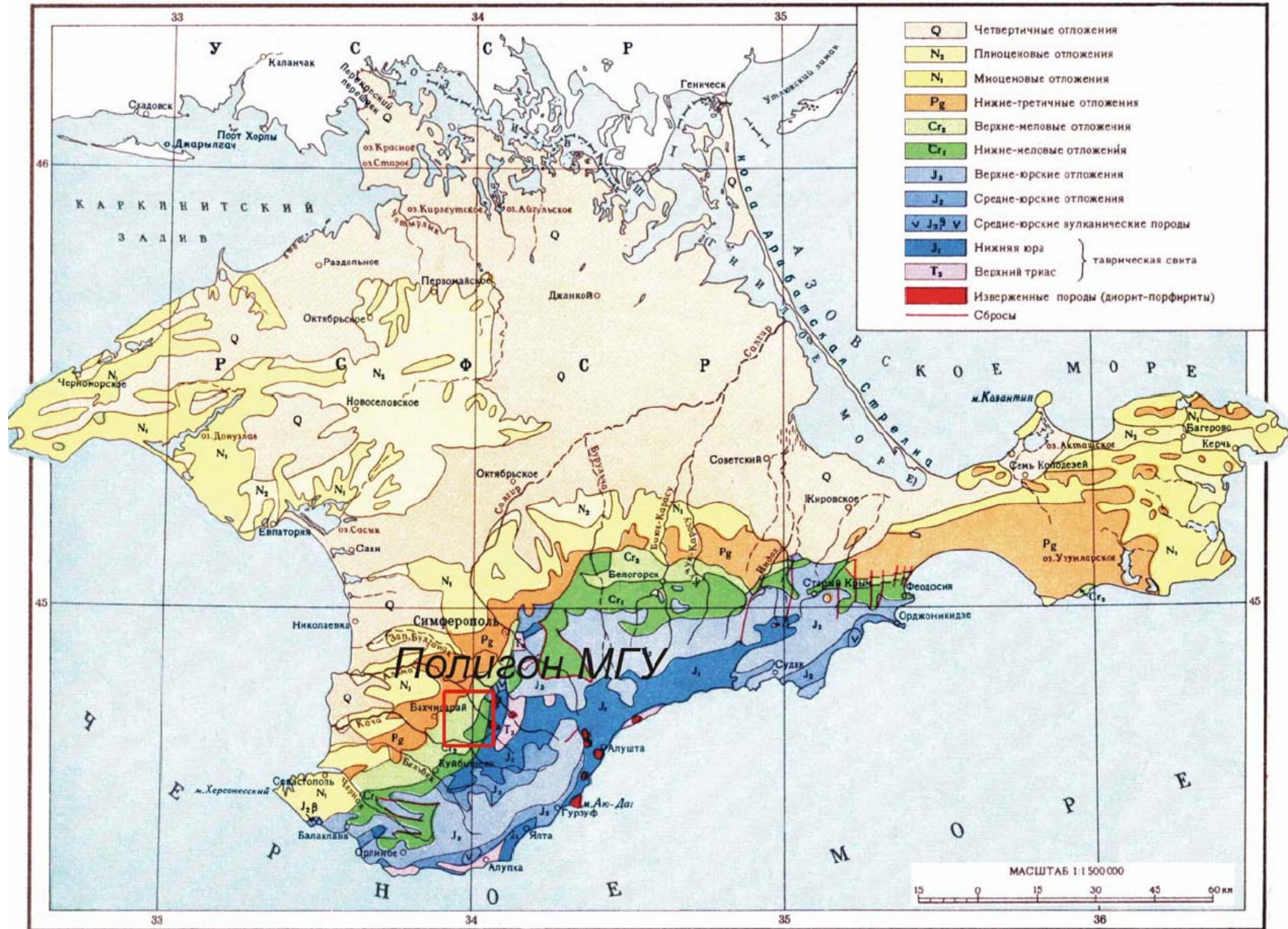


Крым



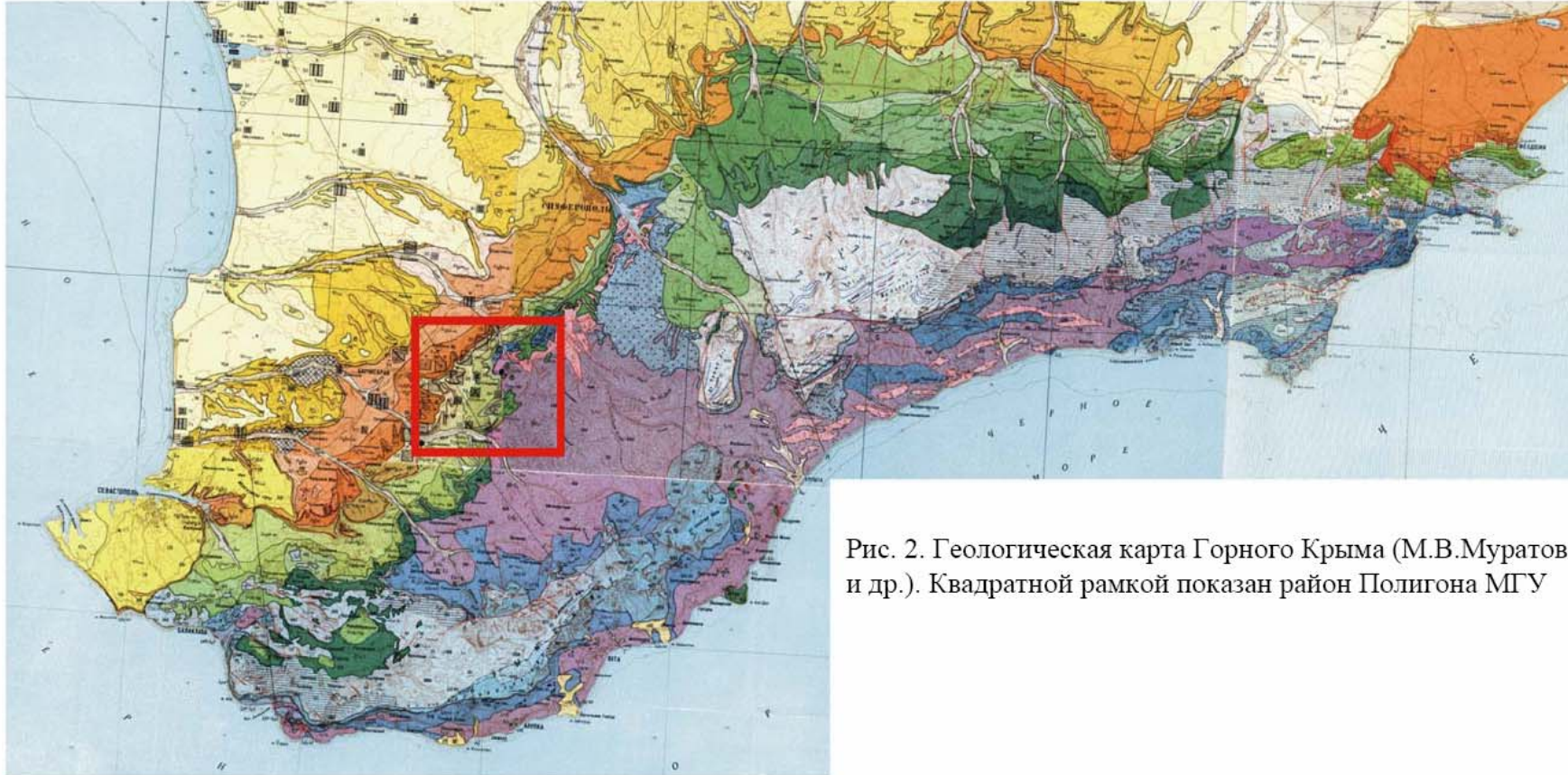


Рис. 2. Геологическая карта Горного Крыма (М.В.Муратов и др.). Квадратной рамкой показан район Полигона МГУ

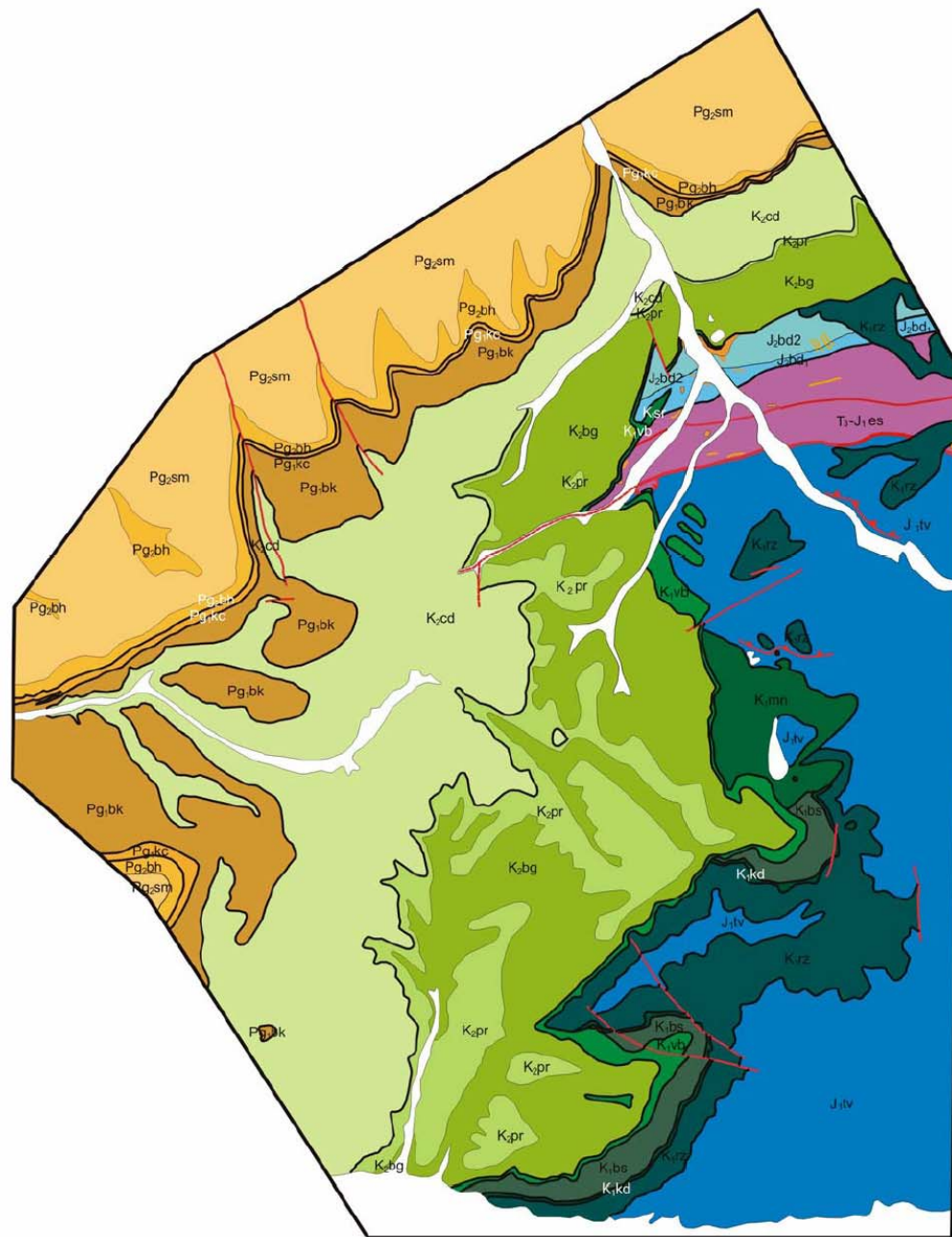
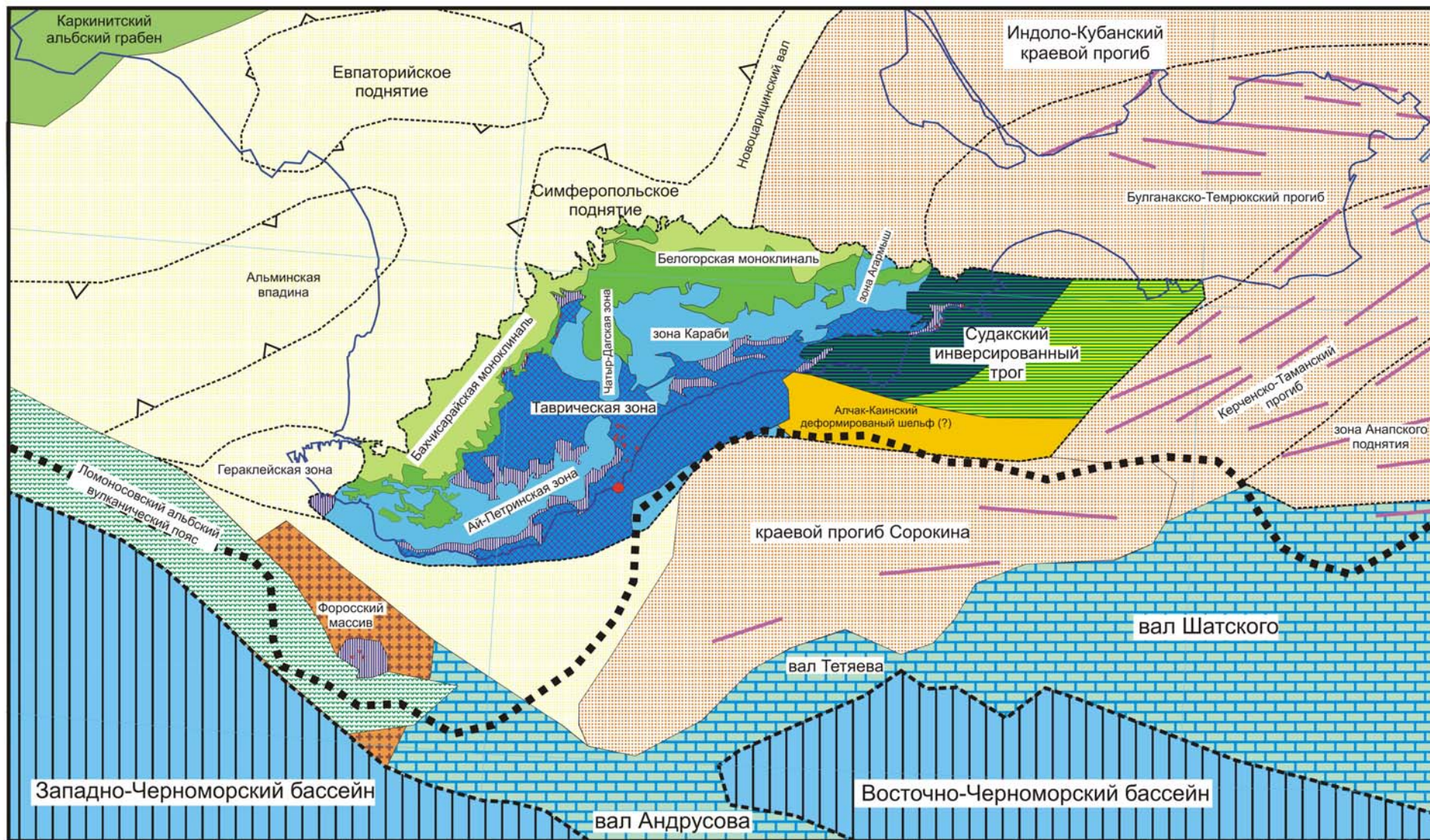


Рис. 3. Геологическая карта района Полигона МГУ

ТЕКТОНИЧЕСКАЯ СХЕМА РАЙОНА ЮЖНОГО КРЫМА (составил А.М. Никишин)



Южно-Крымский ороген

Комплексы олигоцен-неогеновой складчатости и деформаций		Мезозойский (докелловейский) складчатый комплекс		Олигоцен-современные молассовые бассейны	
Шельфовые осадки верхнего мела-эоцена	Троговые и склоновые осадки келловей-эоцена	Среднеюрский комплексы от вулканитов до моласс и шельфовых осадков	Глубокий молассовый бассейн	Малоэнергетический молассовый бассейн	
Шельфовые и континентальные осадки нижнего мела	Троговые и склоновые осадки келловей-неогена	Складчатость			
Шельфовые осадки келловей-берриаса	Шельфовые осадки келловей-эоцена	Таврическая серия (ТЗ-Ј1), отложения трого и склонов			
		Другие обозначения			
		Чехол континентального	Гипотетический		

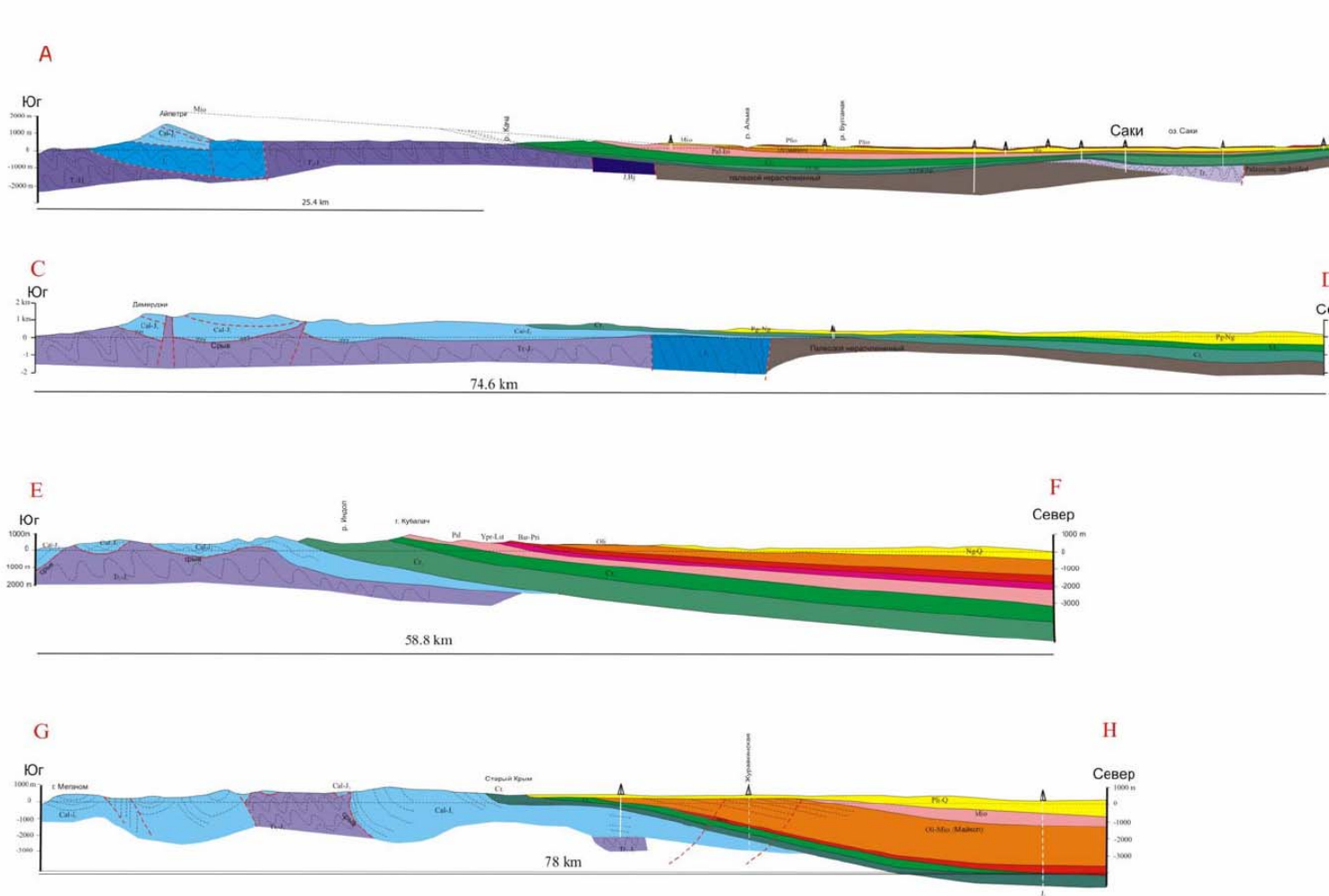


Рис. 5. Геологические разрезы через район Горного Крыма

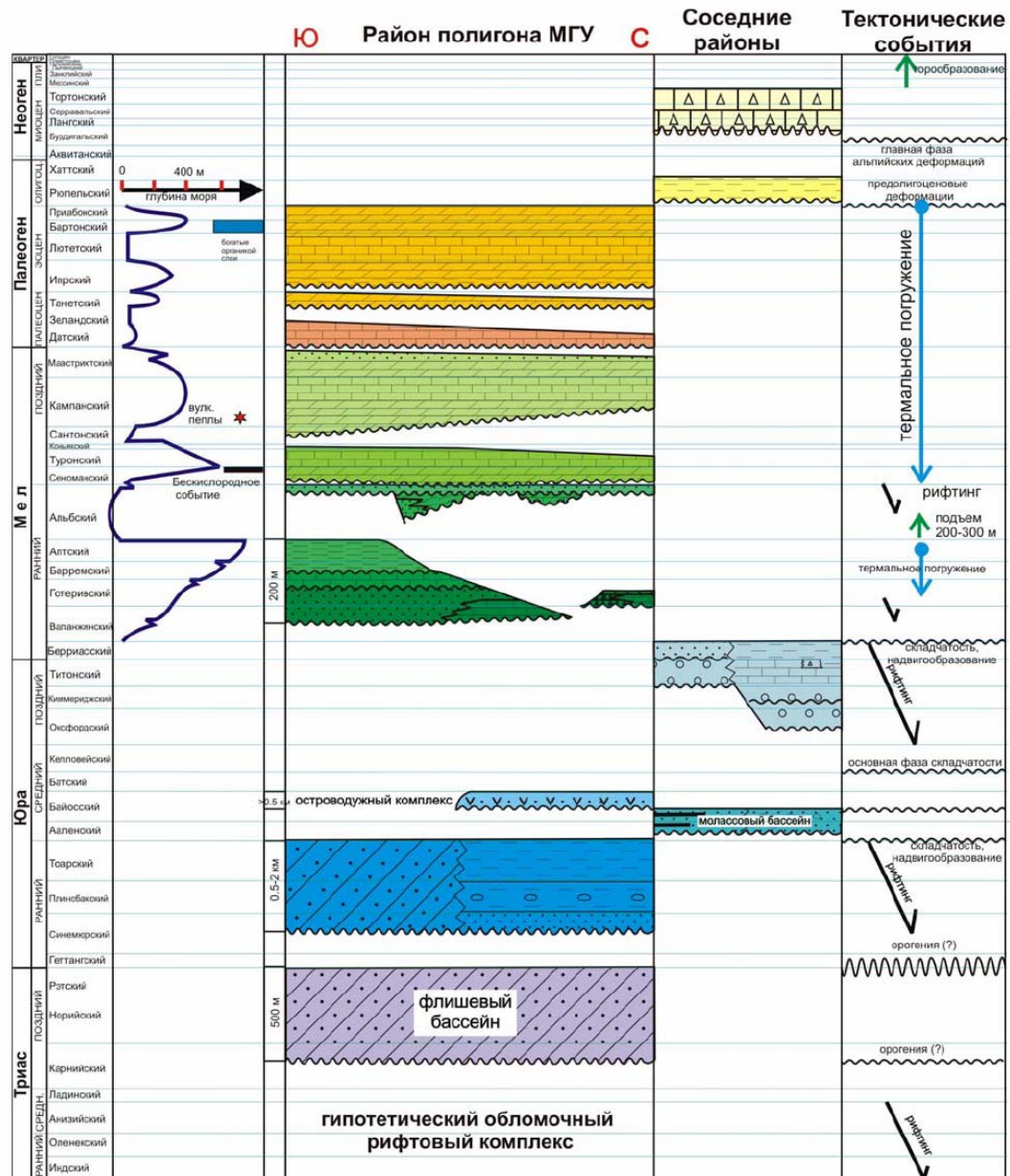


Рис.6. Хроностратиграфическая схема района Полигона МГУ, Бахчисарайский район (составил А.М. Никишин)

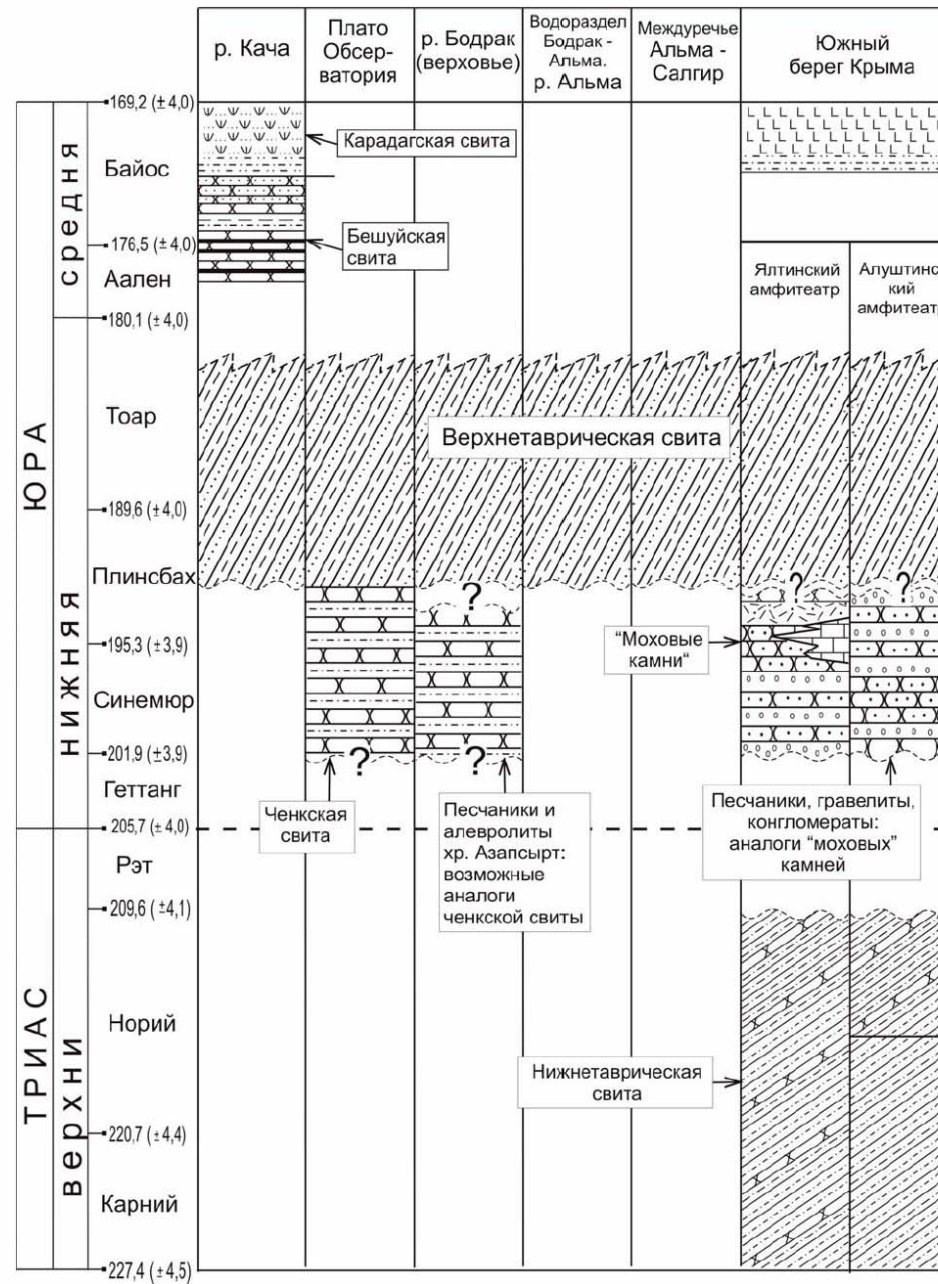


Рис. 7. Хроностратиграфическая схема отложений верхнего триаса и нижней-средней юры Горнокрымской зоны

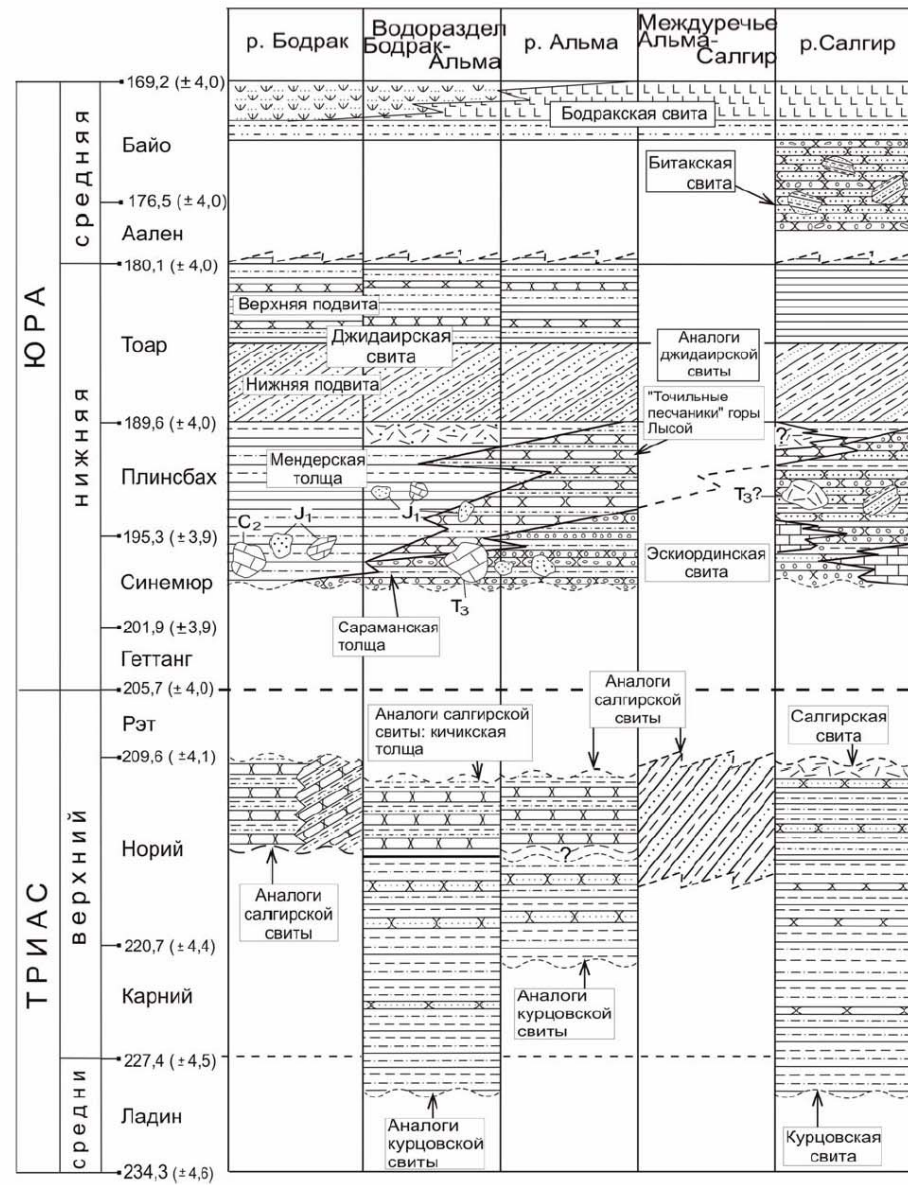


Рис. 8. Хроностратиграфическая схема отложений верхнего триаса и нижней-средней юры Лозовской зоны

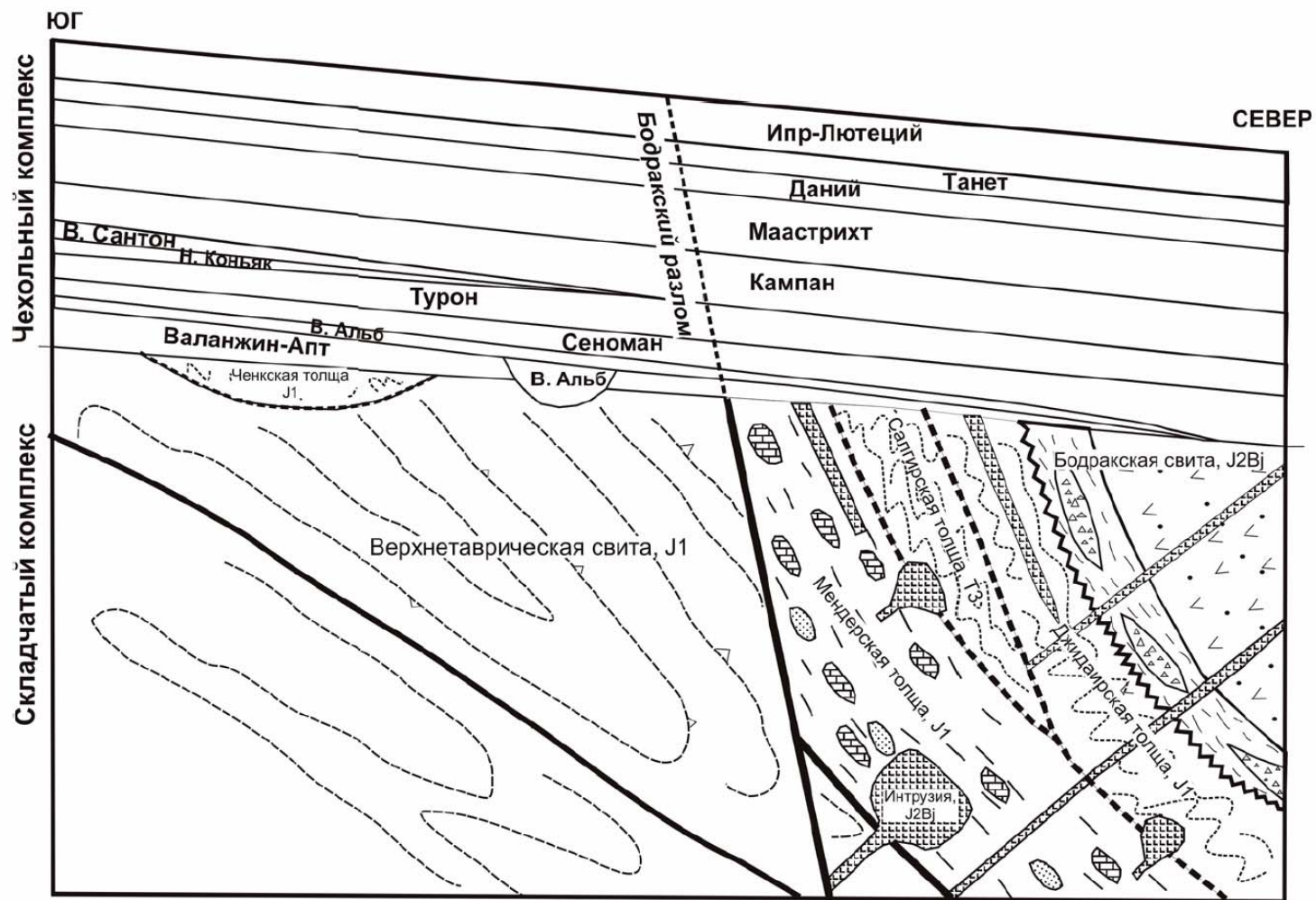


Рис. 9. Схема соотношения основных структурных единиц района Полигона МГУ

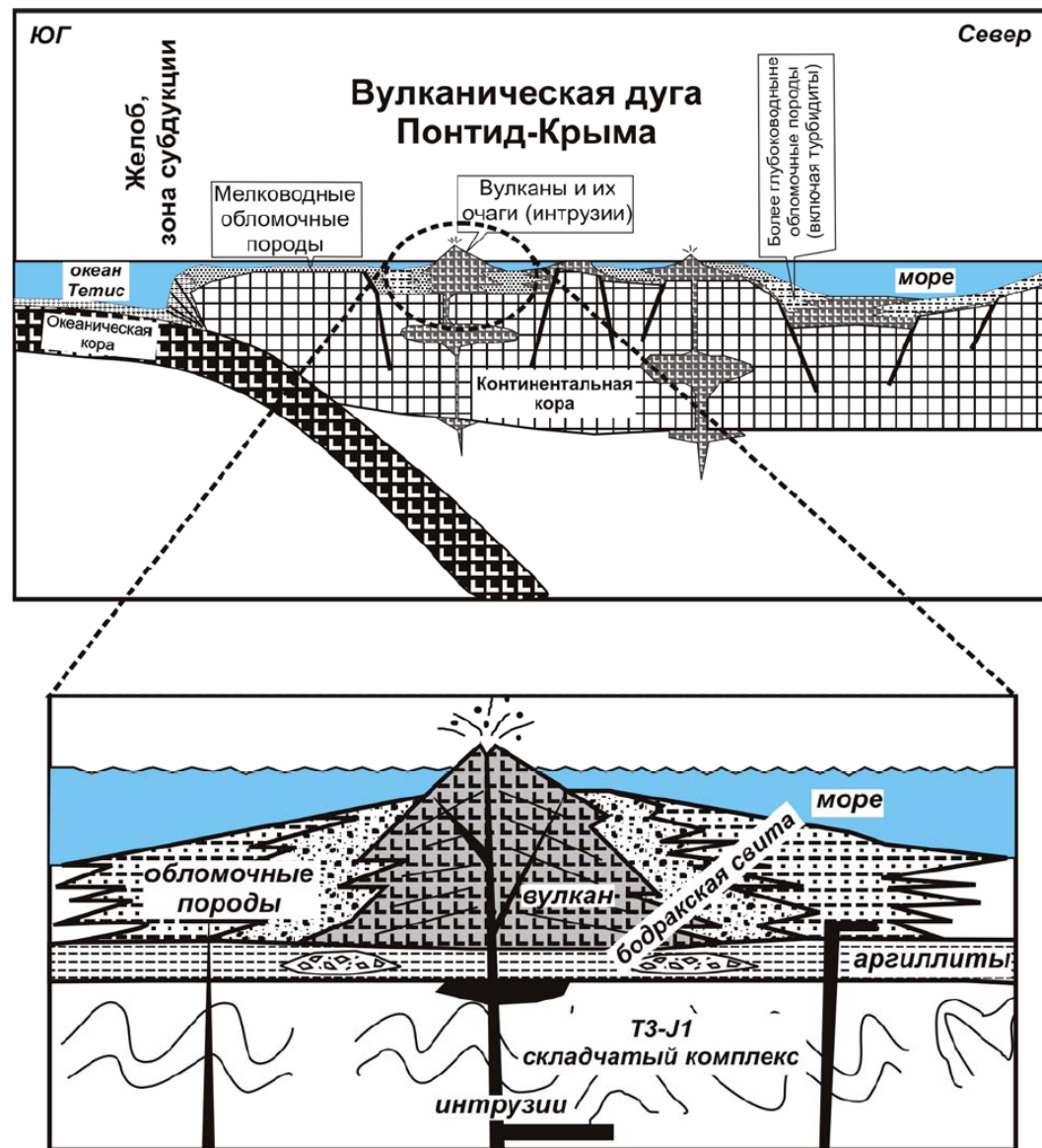


Рис. 14. Схема формирования среднеюрской вулканической дуги и бодракской свиты

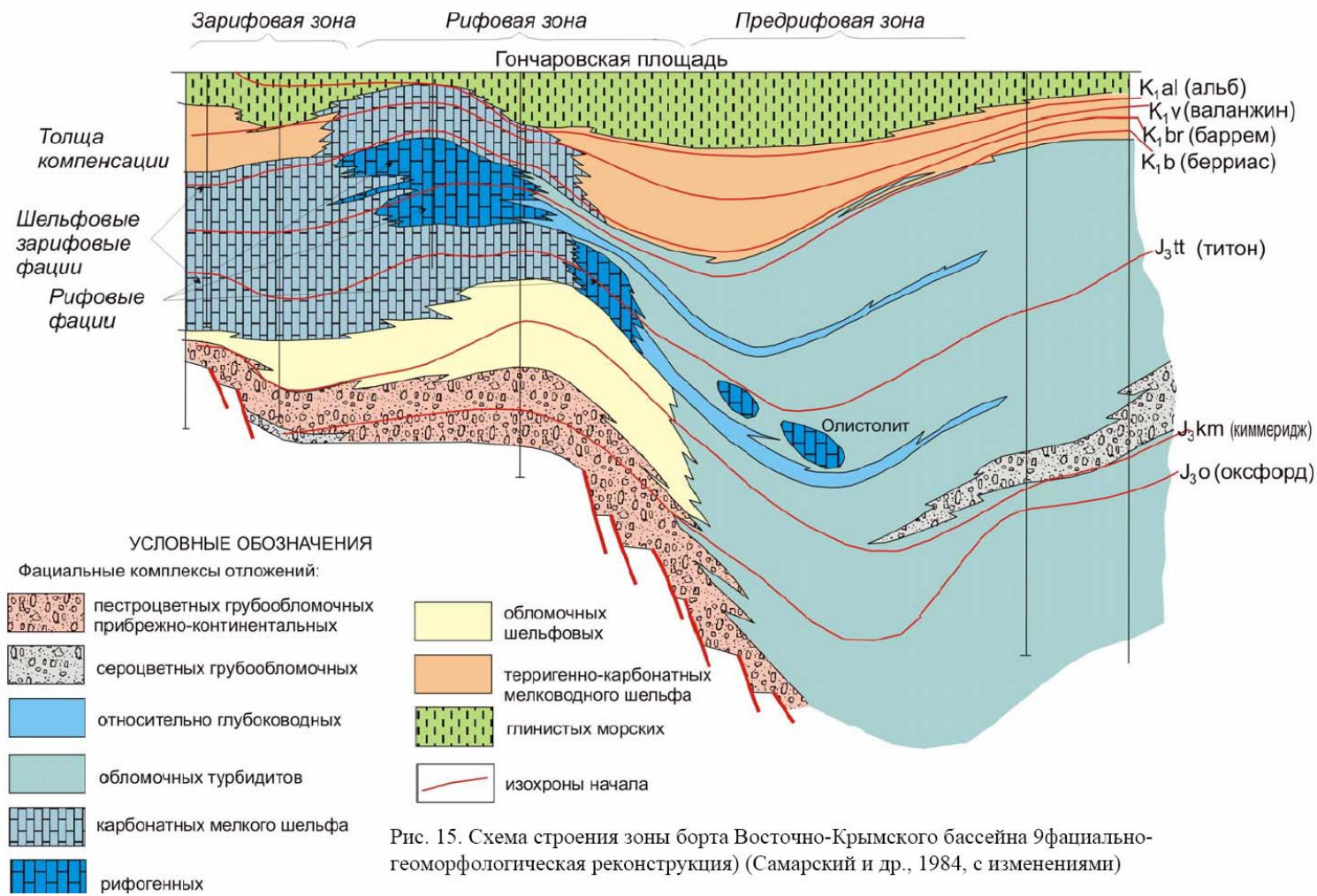
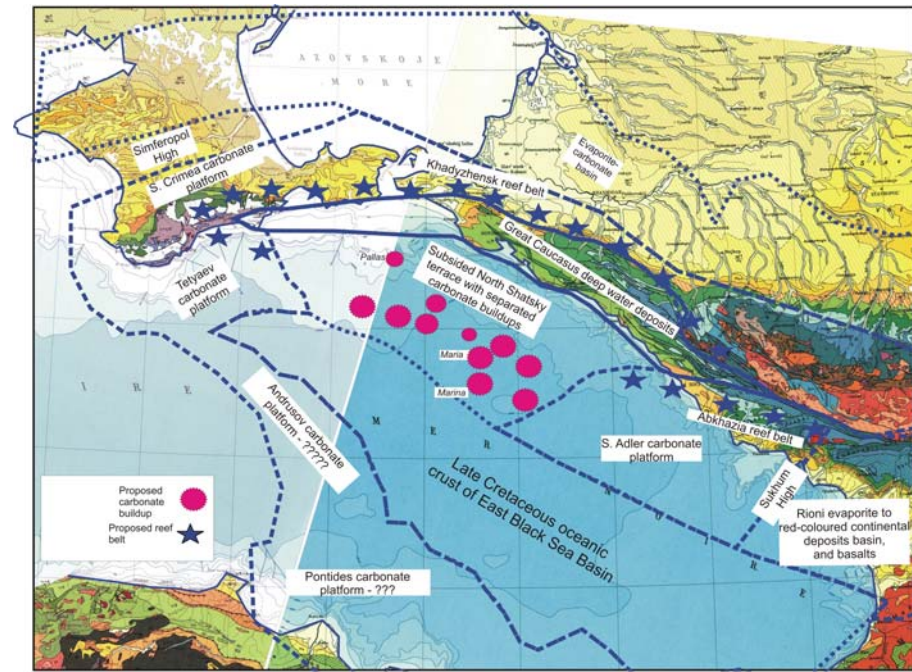
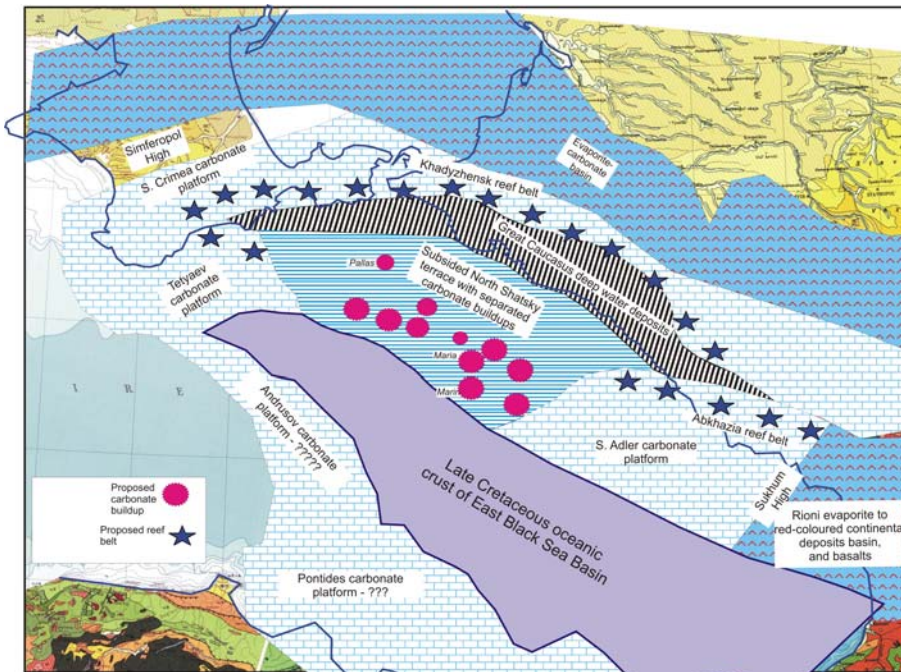
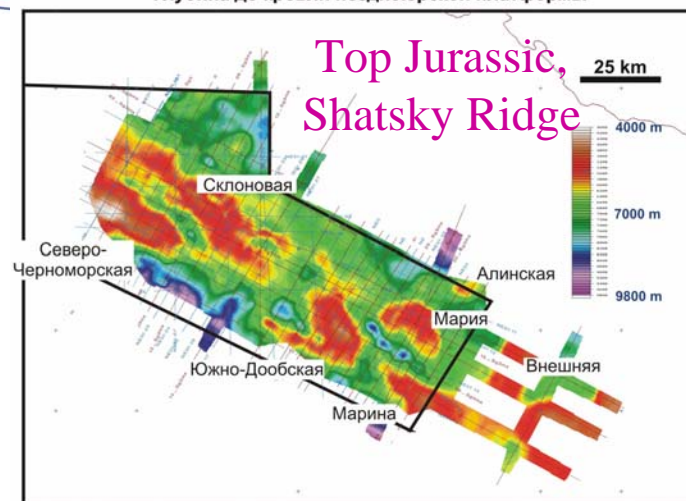


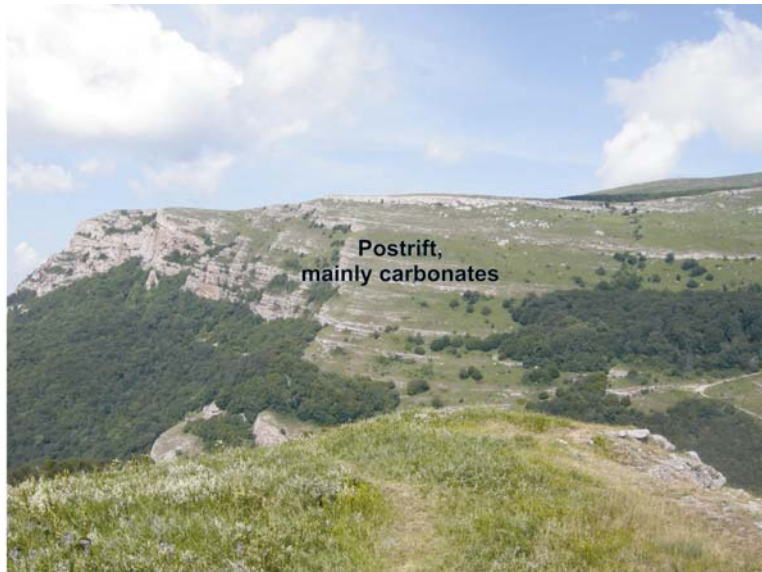
Рис. 15. Схема строения зоны борта Восточно-Крымского бассейна (фациально-геоморфологическая реконструкция) (Самарский и др., 1984, с изменениями)

Upper Jurassic units of the Eastern Black Sea region

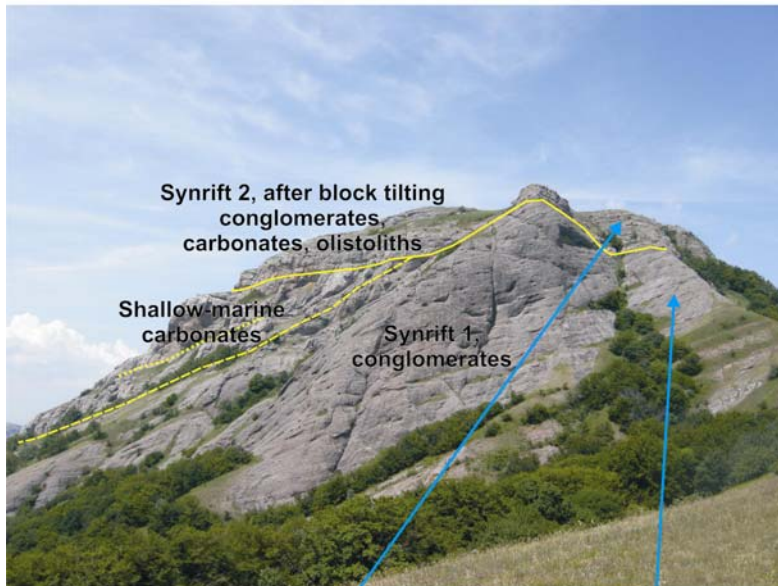
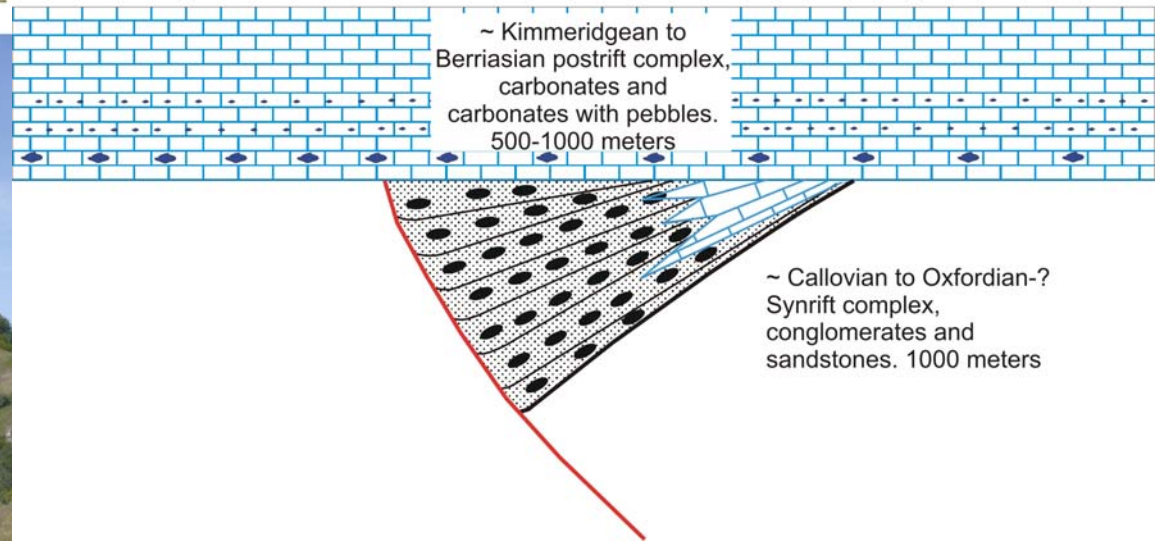


Глубина до кровли позднеюрской платформы





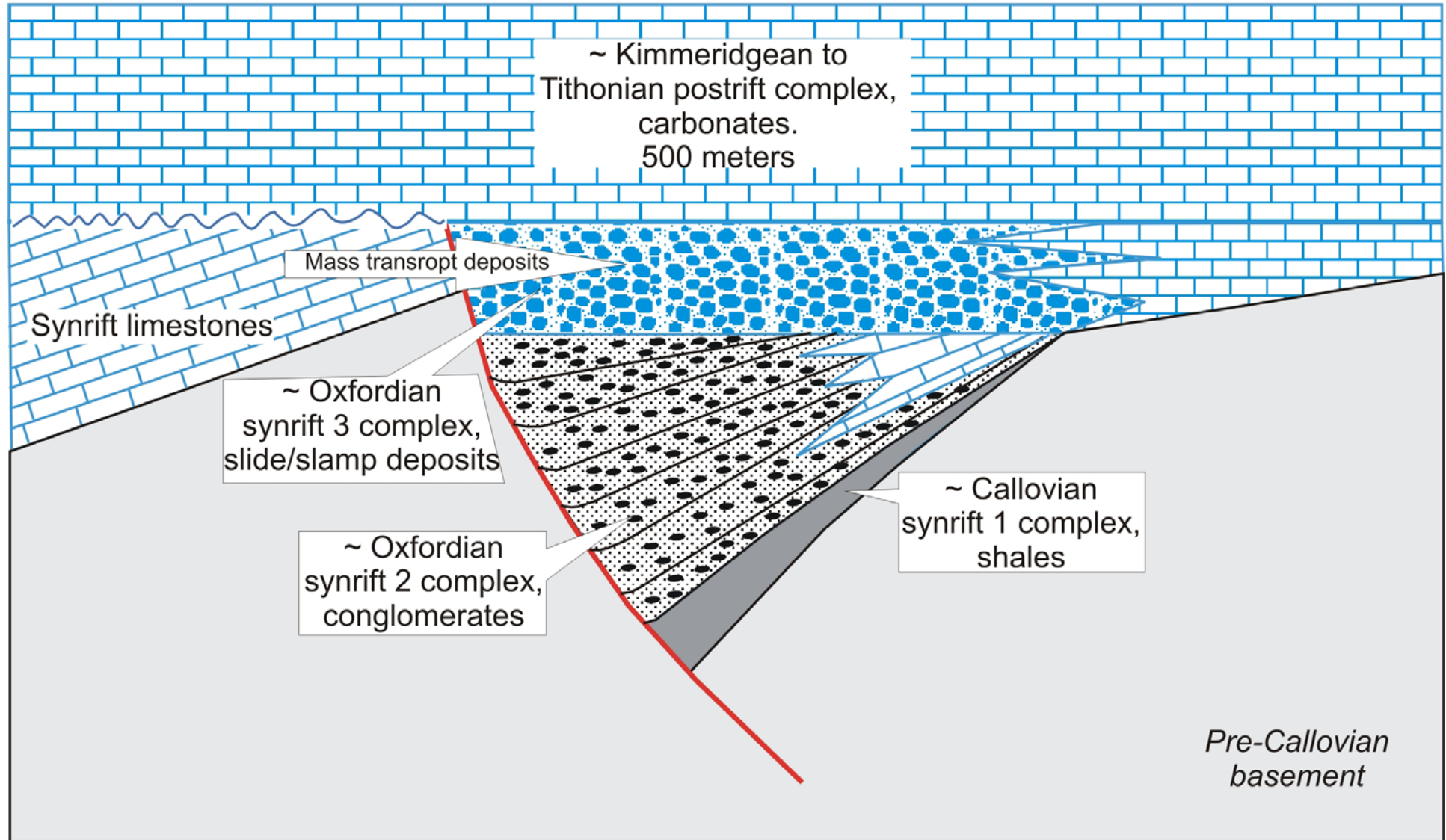
Demerdzhi rift/posrift complex



Balaklava postrift carbonate platform.
Kimmeridgean to Tithonian shallow-marine limestones



Balaklava rift/postrift complex



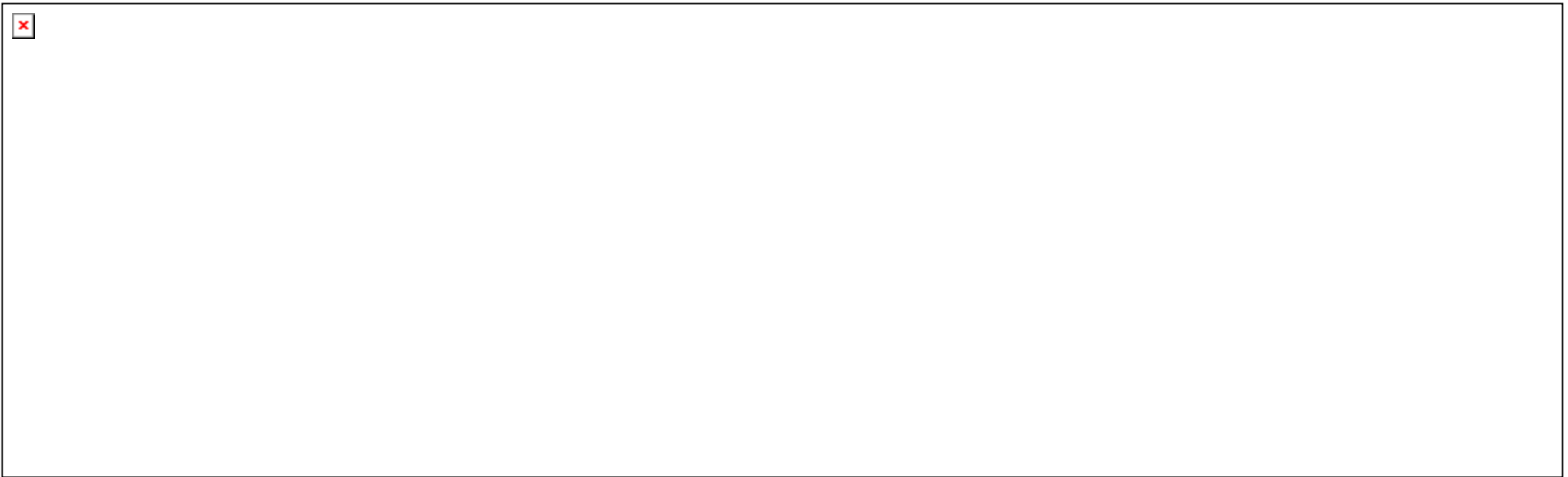
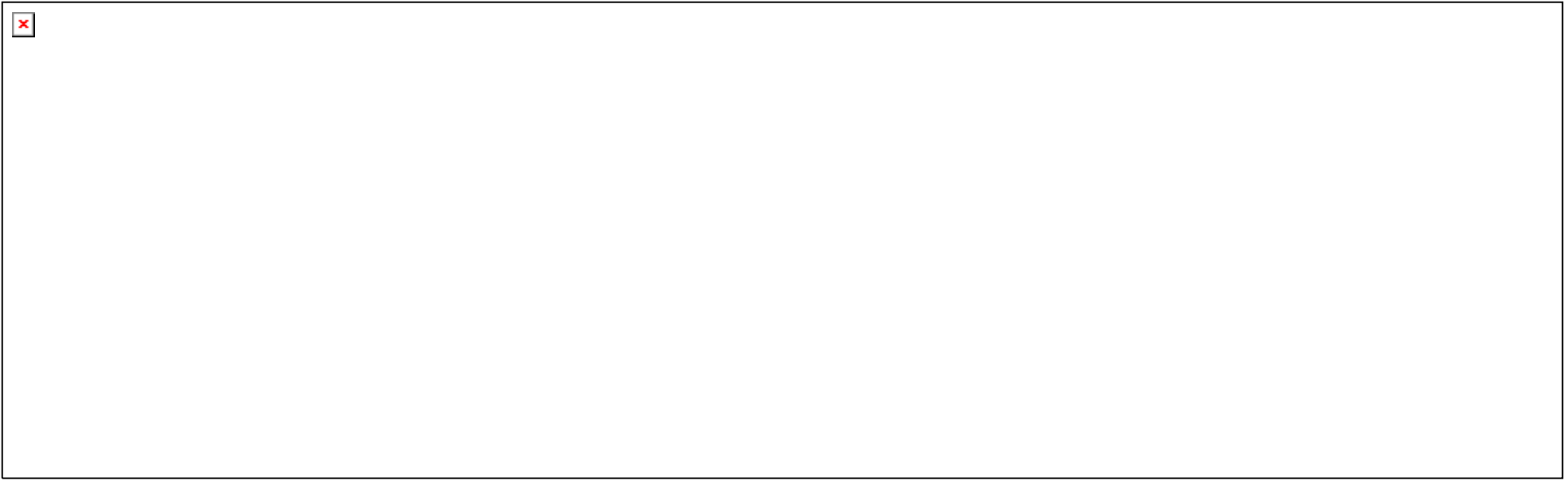
Chatyr-Dag plateau, Mramornyi Quarry. Shallow-marine carbonate platform



Chatyr-Dag plateau, Mramornyi Quarry. Paleokarst evidences



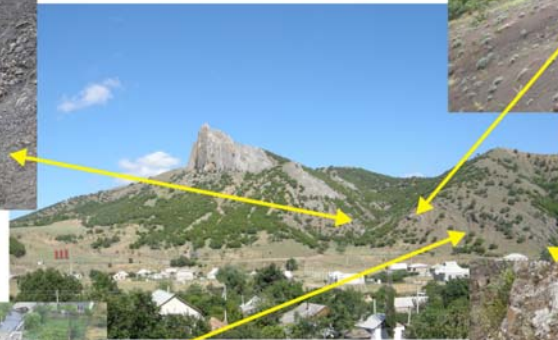
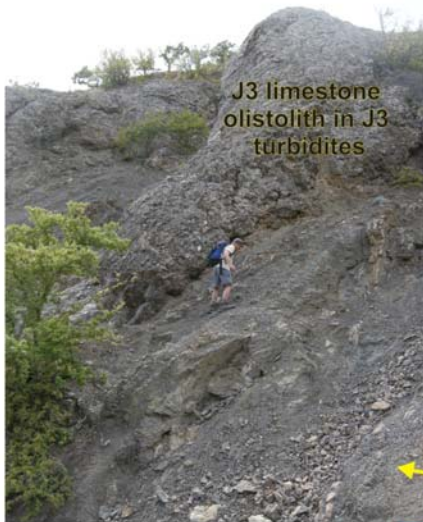
Staryi Krym Quarry, limestones with numerous pebbles

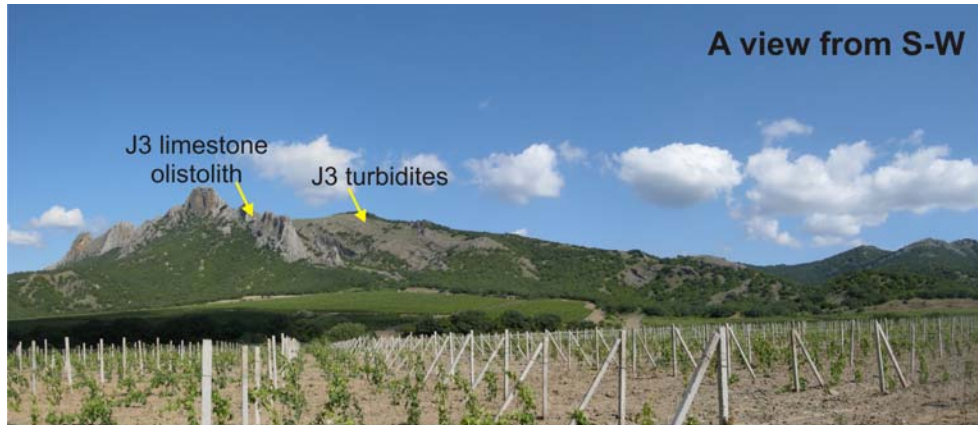


Staryi Krym Quarry, limestones with numerous pebbles

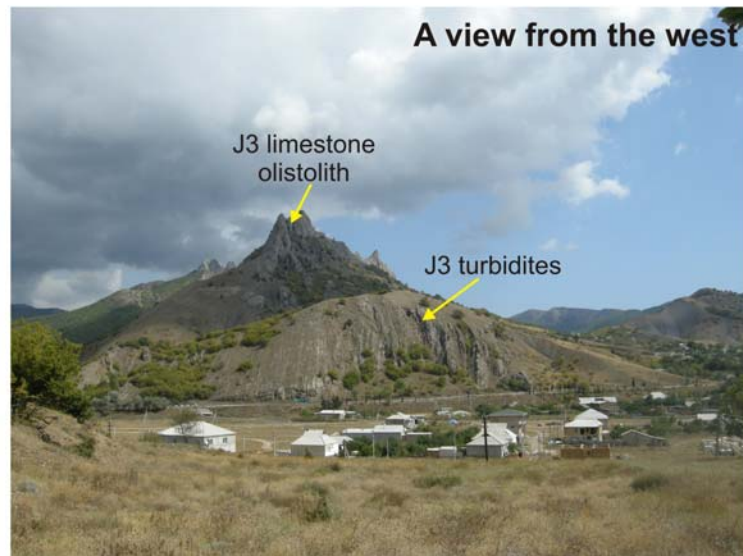
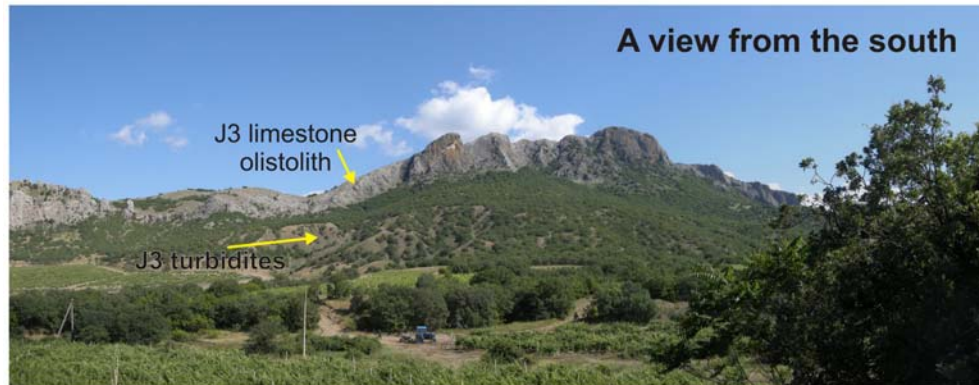


Large-scale olistoliths (slides) in turbidites. Dachnue region





Sary-Kaya very big olistolith of U. Jurassic limestones within U. Jurassic turbidites



Ordzhonikidze region turbidite/deep water complex

Start of conglomerate (wild flysch) section



J3 limestone olistolith



Typical conglomerates



Turbidites with wood fragments



Pebbles of J3 limestones within J3 turbidite (wild flysch) formation.
(Pebbles of the J3 limestones have numerous calcite veins)



Turbidite formation, to west from Ordzhonikidze city

General view of section

section



Current marks according to deep-water flows

Turbidites with fragments of wood



Shales with turbidite sandstones (to west from Ordzhonikidze sity)

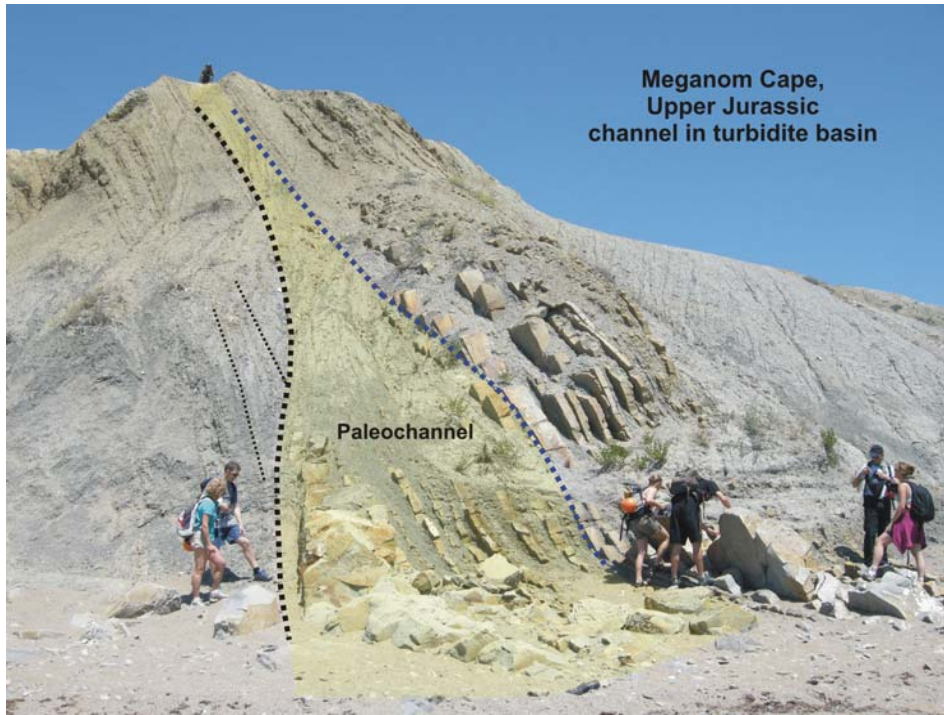


Current marks

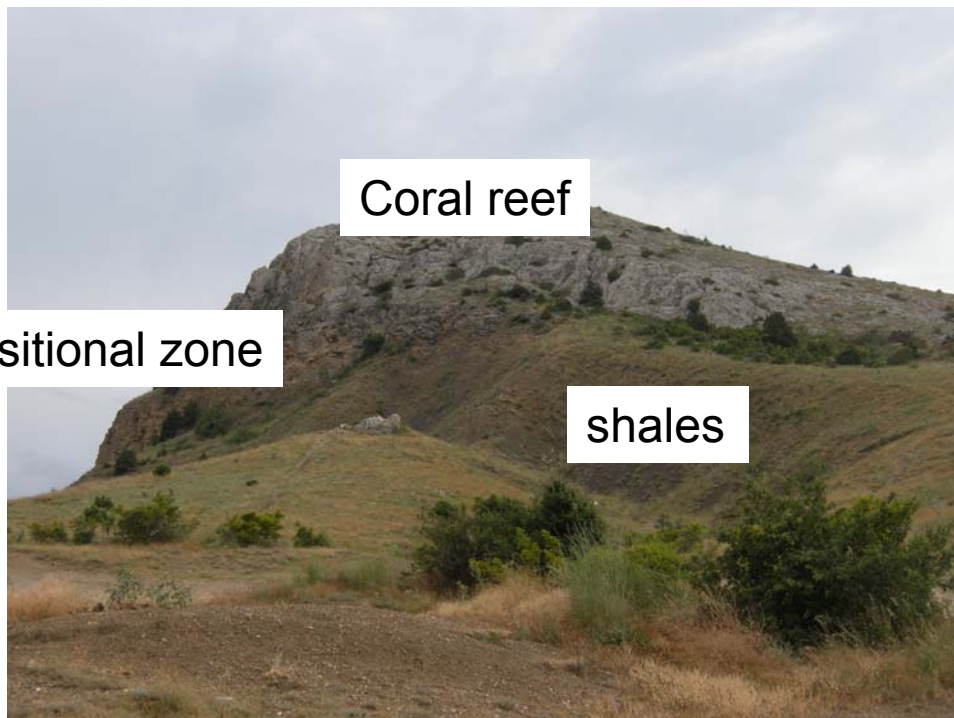


Trace fossils

Deep-water channel system within shales



Alchak-Kaya reef complex is located in an original position. Sudak region



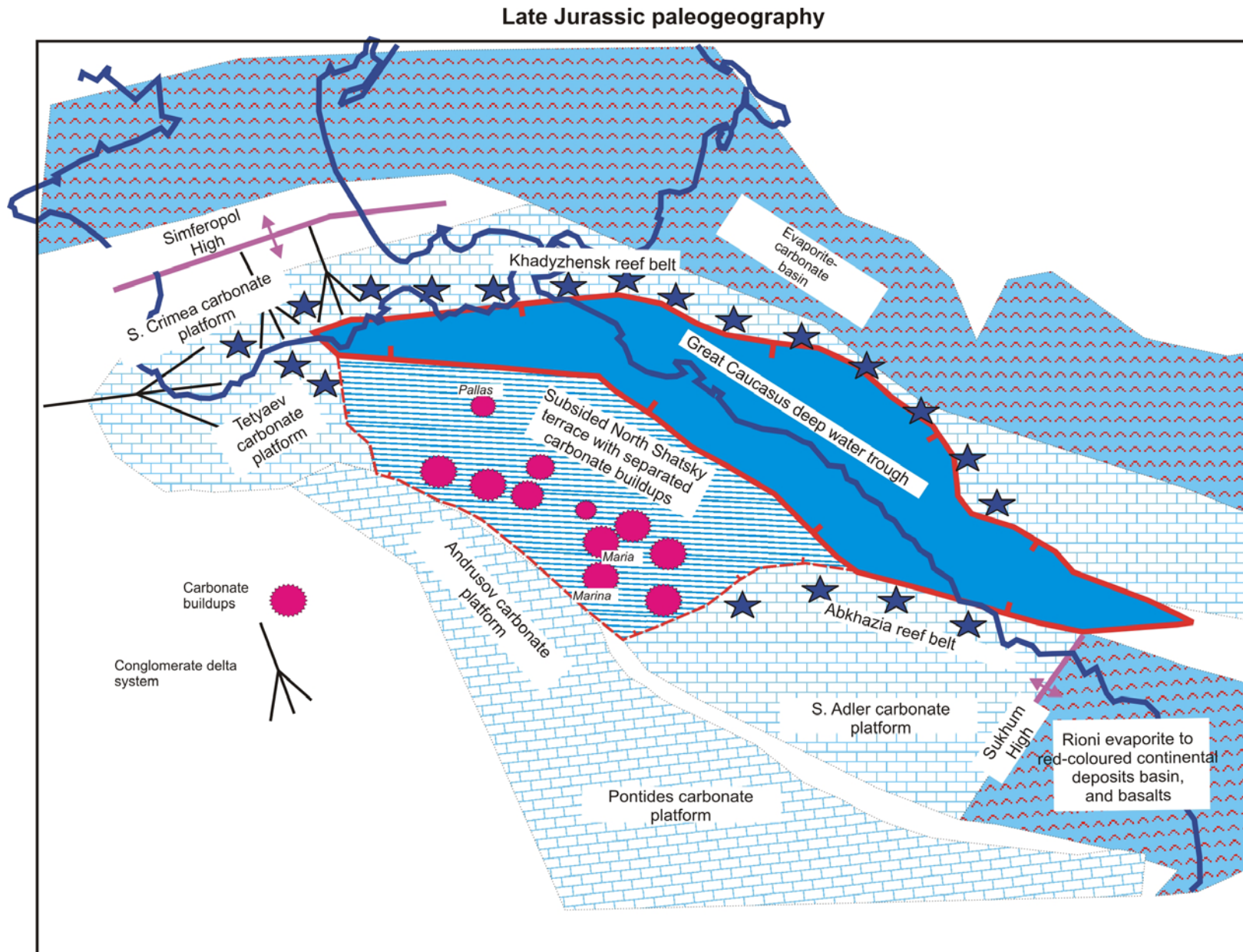
Koba-Kaya coral reef complex (contacts are unknown-?)



Koba-Kaya typical corals



Late Jurassic paleogeography of Eastern Black Sea Region



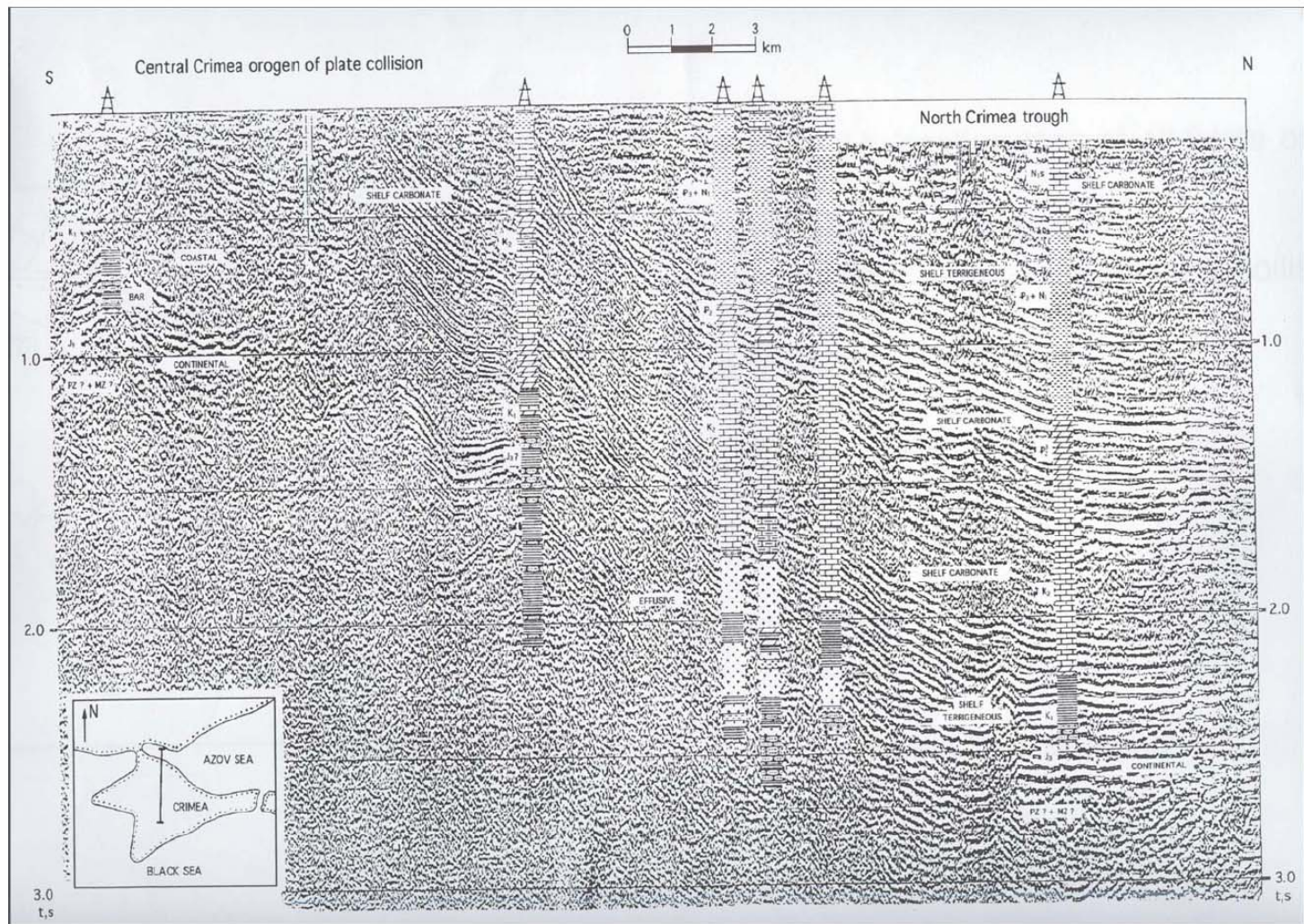
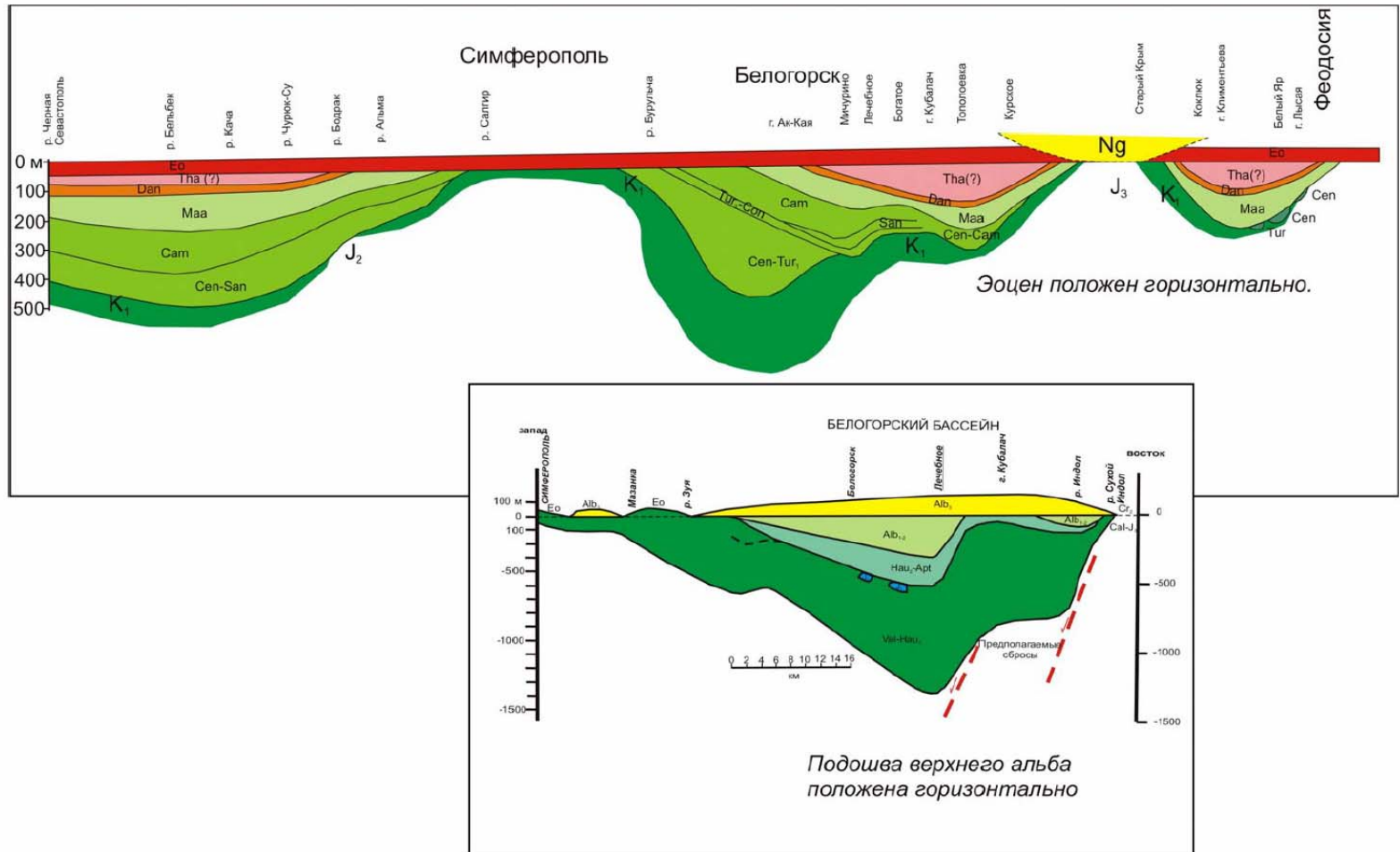


Рис. 16. Сейсмический профиль и скважины для Скифской платформы Крыма



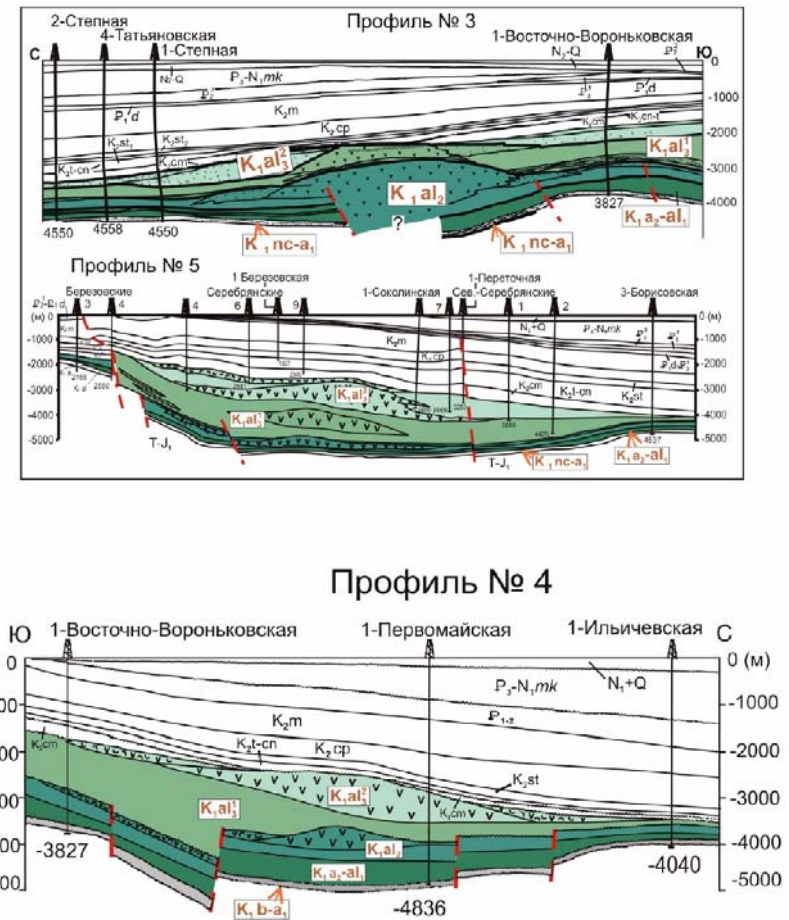
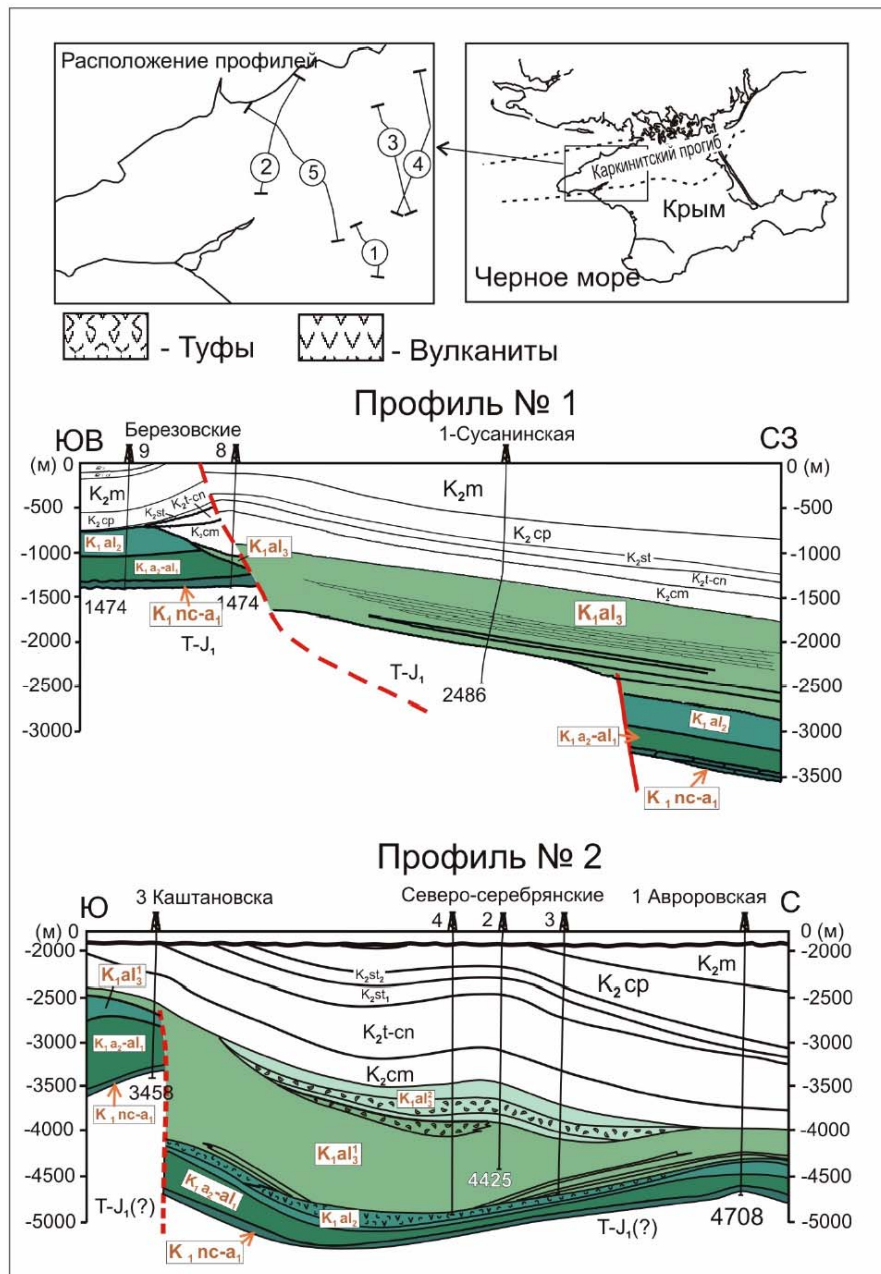


Рис. 21. Окончание

Рис. 21. Сейсмогеологические разрезы для Каркинитского бассейна (начало)

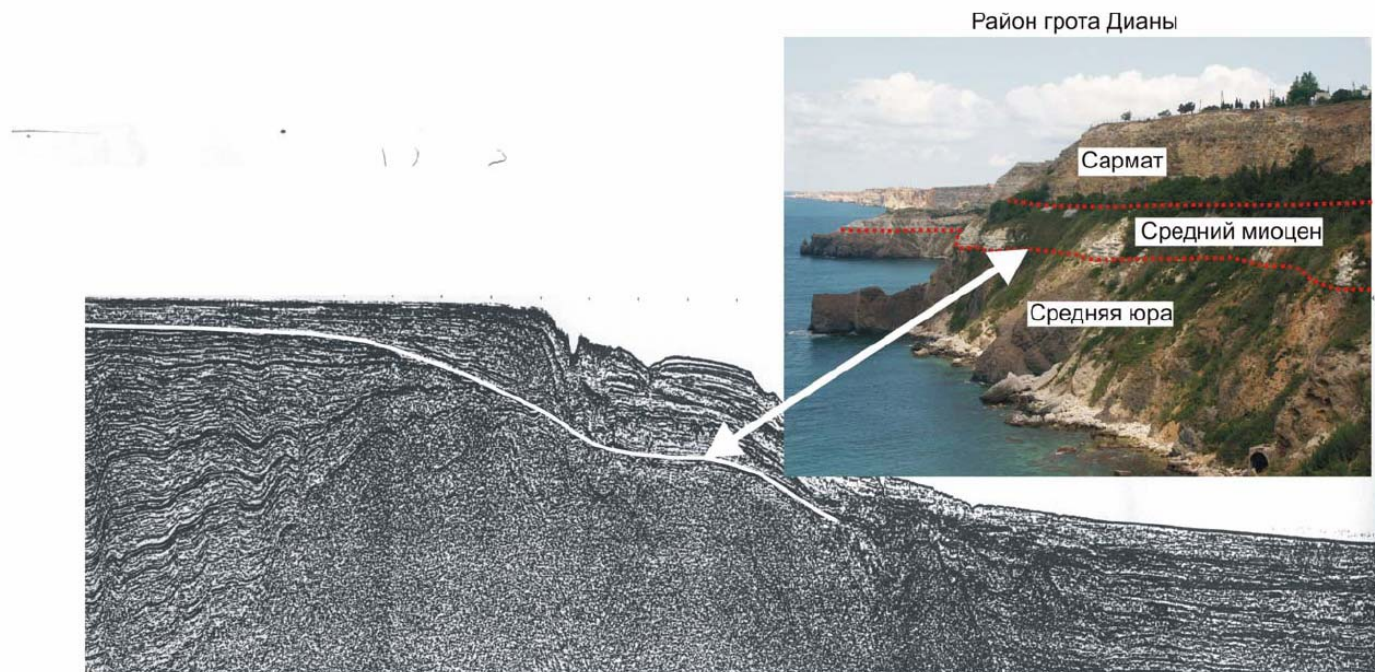


Рис. 27. Главные альпийские деформации в Юго-Западном Крыму имели место перед средним миоценом. На сейсмическом профиле четко видно предсреднемиоценовое несогласие. Профиль проходит западнее Севастополя. В обнажении в районе мыса Фиолент видно, что средний миоцен ложится на деформированную среднюю юру

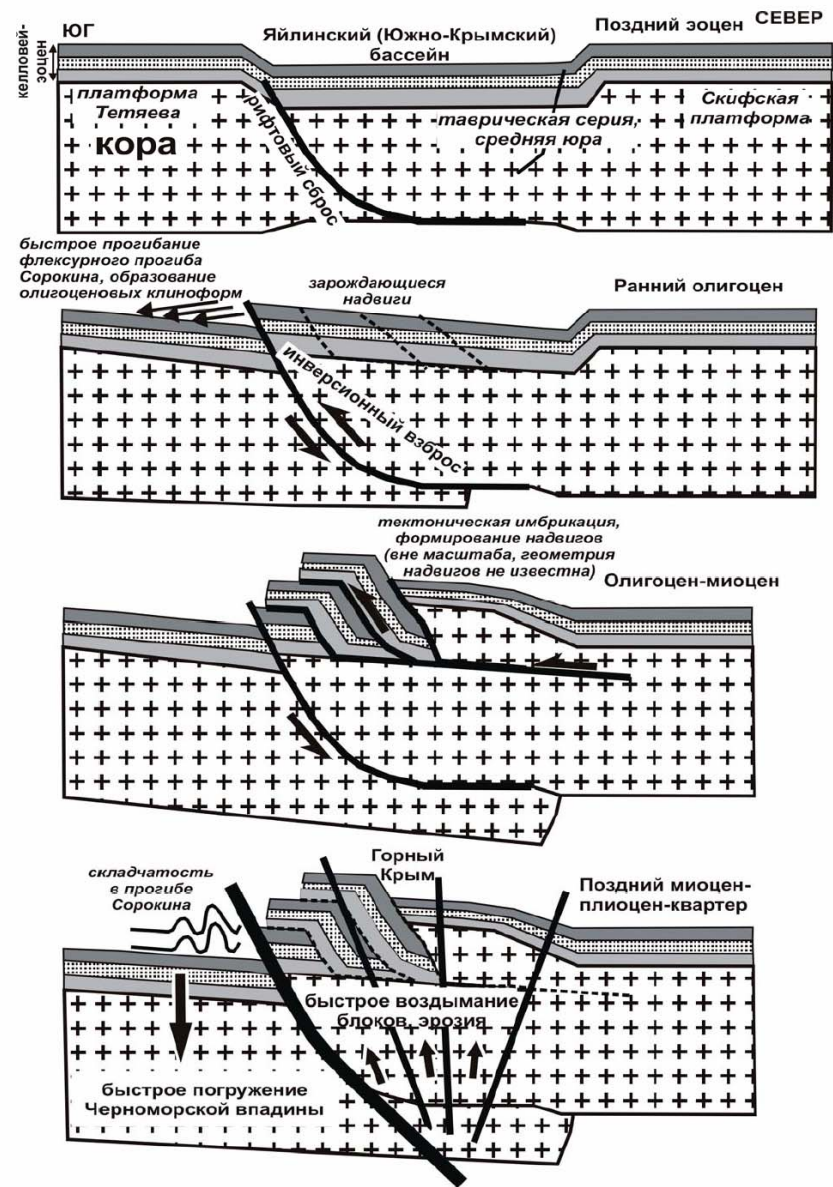
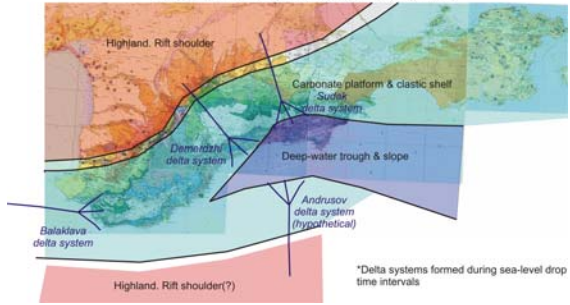
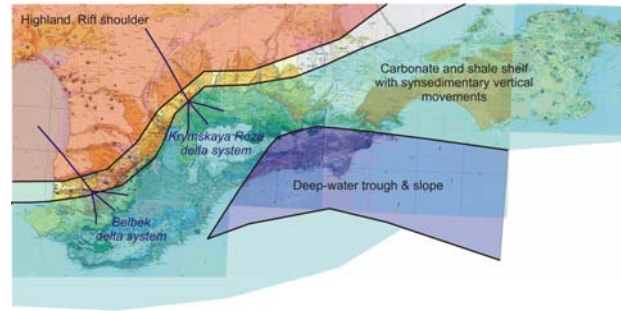


Рис. 31. Внемасштабная модель альпийской тектоники Южно-Крымского орогена; отложения олигоцена и выше не показаны

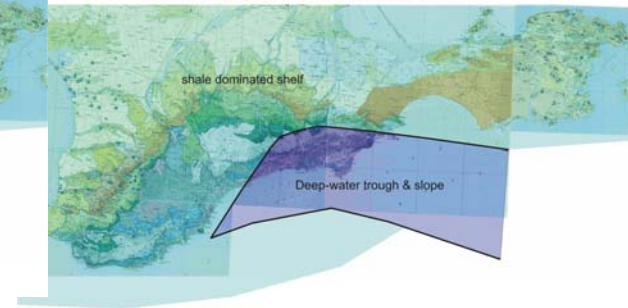
Callovian to Late Jurassic paleogeography



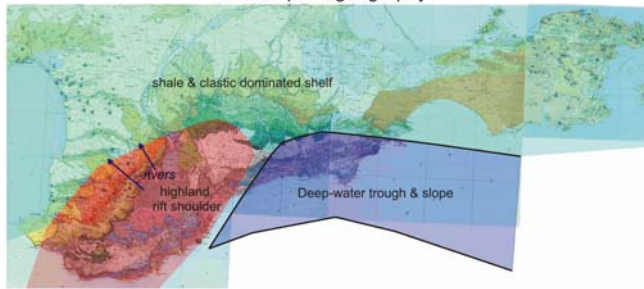
Berriasian to Valanginian paleogeography



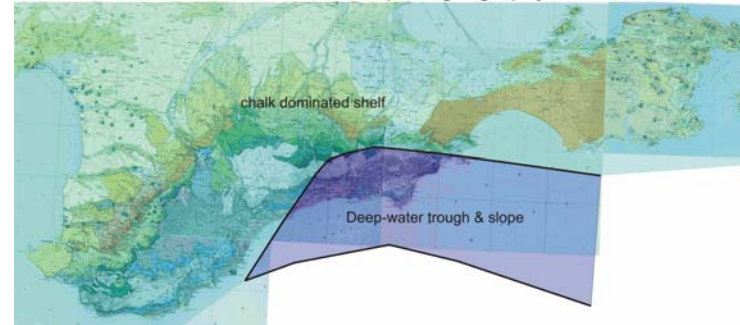
Barremian to Aptian paleogeography



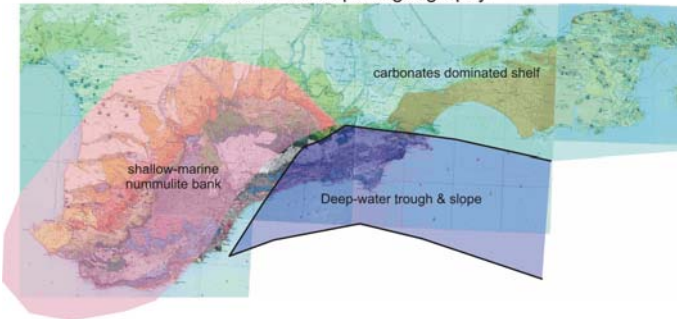
Albian paleogeography



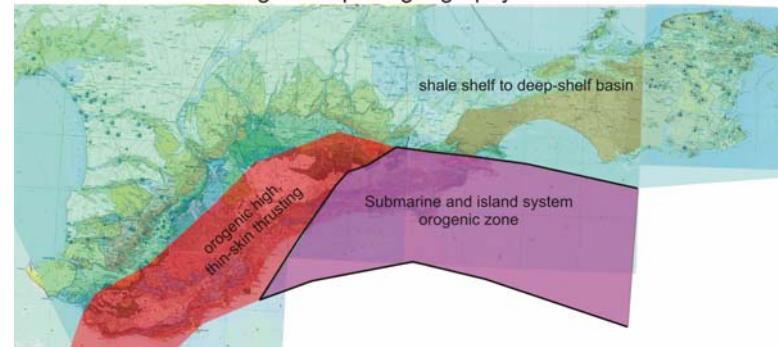
Late Cretaceous paleogeography



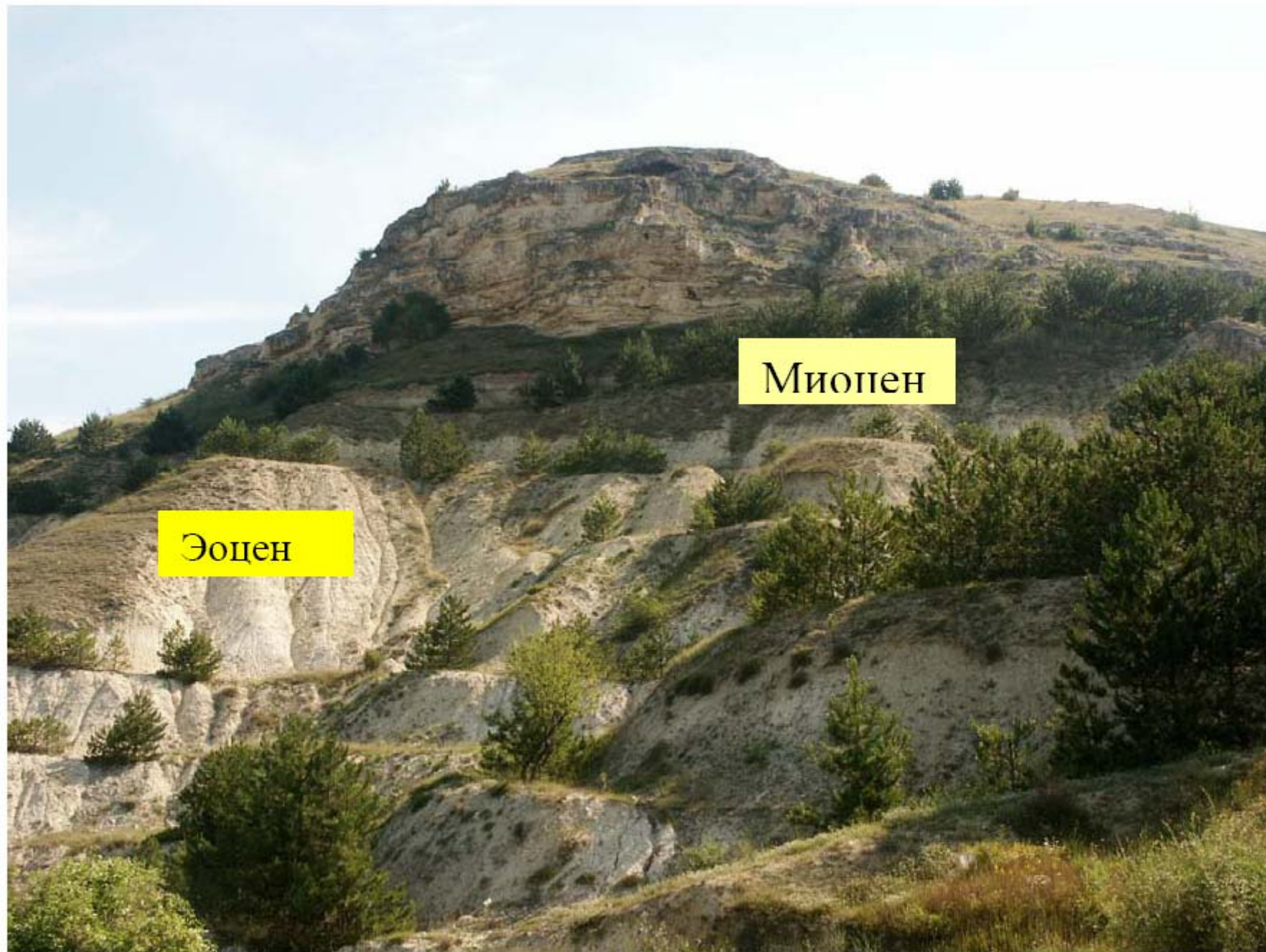
Middle Eocene paleogeography



Oligocene paleogeography







Эоцен

Миоцен

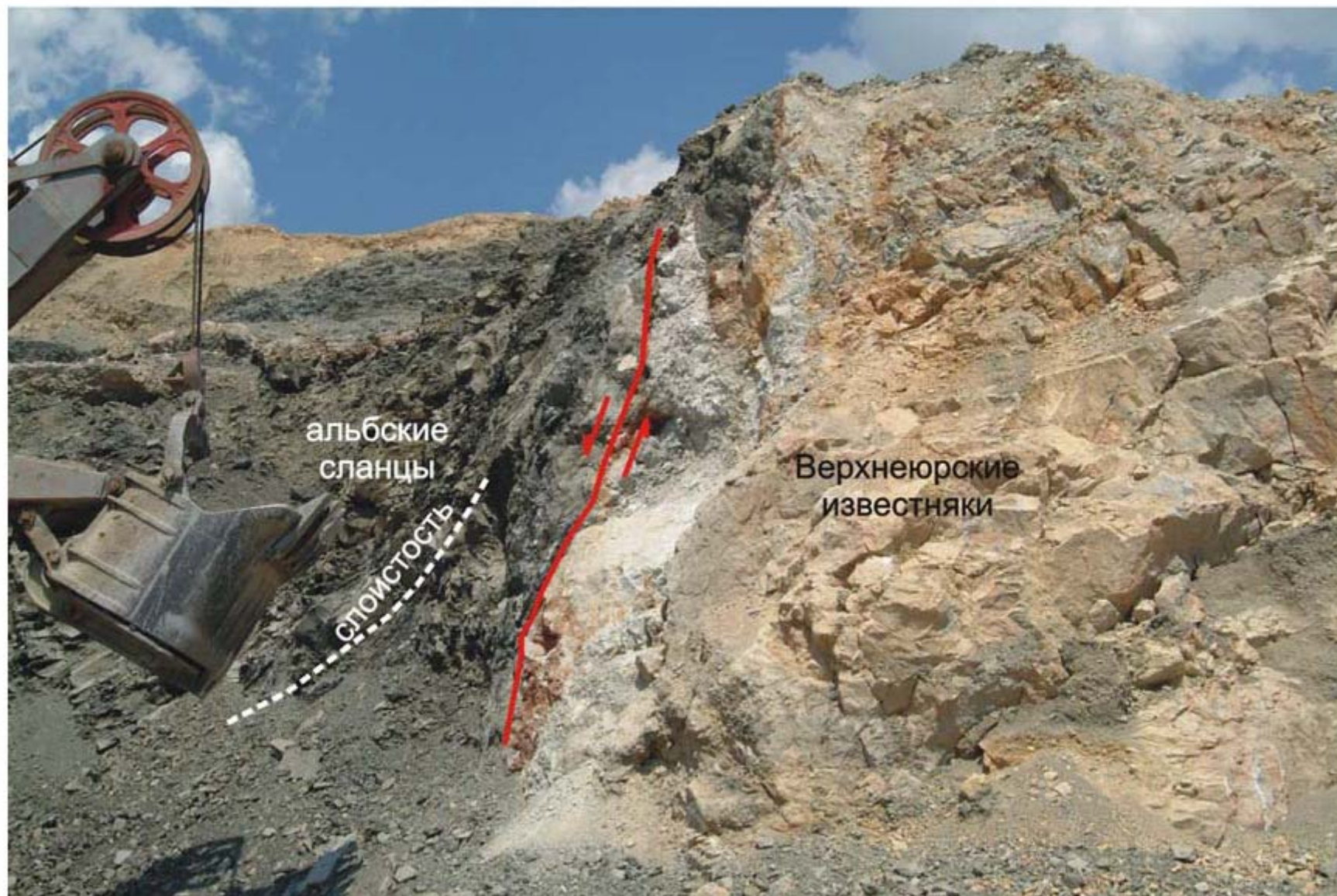


район Балаклавы, Мраморная бухта



Разломный характер контактов средней и верхней юры и несогласное залегание миоцена

Балаклавский карьер,
постальбский разлом



Альпийские деформации в Балаклавском карьере

**Разрез валанжина у села Крымская Роза (Зуйский карьер)
(дельтовый комплекс)**



с. ПРОЛОМ



г. АК-КАЯ





г. Лягушка. Вершина горы сложена рифовыми известняками верхней юры (оксфорда-?). Вокруг толща конгломератов оксфорда (?)



Карбонатный массив "Грот Шаляпина", г. Новый Свет.



Вид берега



Блок верхнеюрских шельфовых известняков
в конгломератах



Грубообломочные турбидиты



Конгломераты и песчаники



Валун с коралловым известняком